

УДК 621.9

Е.Р. Газизов

## АНОДНОЕ ФОРМООБРАЗОВАНИЕ КРИВОЛИНЕЙНЫМ КАТОДОМ ПРИ НЕРАВНОМЕРНОЙ ПОЛЯРИЗАЦИИ АНОДА

Разработан численно-аналитический метод расчета анодного формообразования катодом-инструментом с криволинейной границей с учетом неравномерной поляризации анода и пассивирующих свойств электролита.

Для моделирования процесса ЭХО могут быть приняты положения теории “идеального электрохимического формообразования” [1]. Постановки задач ЭХО и методы их решения достаточно полно изложены в монографии [2]. Одно из новых возможных направлений уточнения модели ЭХО – учет неравномерной поляризации электродов, что и было сделано в [3] для катода-инструмента в виде клина. В настоящей работе исследуется учет неравномерной поляризации электродов для криволинейного катода-инструмента.

**Постановка задачи и сведение ее к решению нелинейного интегрального уравнения.** Требуется определить форму анодной границы  $\Gamma_0$  при стационарном электрохимическом формообразовании криволинейным катодом-инструментом  $\Gamma_1$  так, чтобы при этом потенциал электрического поля  $\Psi$  удовлетворял следующим граничным условиям:

$$\Psi = Q \text{ на } \Gamma_1, \quad (1)$$

$$\Psi = F_0 \left( \frac{\partial \Psi}{\partial n} \right) \text{ на } \Gamma_0. \quad (2)$$

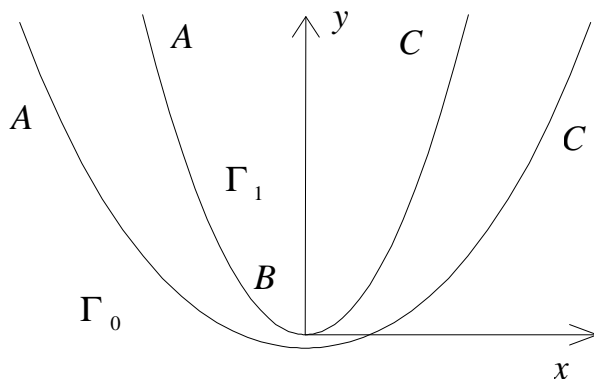


Рис. 1

$$\lambda \left( \frac{\partial \Psi}{\partial n} \right) \frac{\partial \Psi}{\partial n} = \cos \theta \text{ на } \Gamma_0. \quad (3)$$

Условие (2) учитывает неравномерную поляризацию анода, а условие (3) - пассивирующие свойства электролита. Здесь  $\theta$  - угол наклона к оси  $x$  касательной к  $\Gamma_0$ ;  $n$  - нормаль к  $\Gamma_0$ ;  $F_0$  - известная функция. Ось  $x$  направлена перпендикулярно направлению подачи катода-инструмента.  $Q$  - заданное постоянное значение потенциала на  $\Gamma_1$  (рис.1).

Катод-инструмент  $\Gamma_1$  задан в виде  $\theta = F(S)$ , где  $S$  - длина дуги.

Разрешим уравнение (3) относительно  $\partial \Psi / \partial n$ , и выразим  $\partial \Psi / \partial n$  как функцию от  $\theta$  на  $\Gamma_0$

$$\partial \Psi / \partial n = f_1(\cos \theta). \quad (4)$$

Тогда из (2) выразим  $\Psi$  на  $\Gamma_0$  в виде

$$\Psi = f_0(\cos \theta). \quad (5)$$

Отобразим конформно область течения в физической плоскости на полосу  $D_t = \{0 < \eta < \pi/2\}$  в плоскости комплексного переменного  $t = \xi + i\eta$  так, чтобы бесконечно удаленные точки  $A$  и  $C$  канала перешли в бесконечно удаленные точки полосы слева и справа, соответственно, а точка  $B$  - в точку  $t = i\pi/2$  (рис. 2). Введем аналитическую функцию  $\chi(t) = \ln(dz/dt) = r + i\theta$  и обозначения

$$\begin{cases} \operatorname{Re} \chi(t) = r^0(\xi), \operatorname{Im} \chi(t) = \theta^0(\xi), t = \xi, -\infty < \xi < \infty, \\ \operatorname{Re} \chi(t) = r^1(\xi), \operatorname{Im} \chi(t) = \theta^1(\xi), t = \xi + i\pi/2, -\infty < \xi < \infty. \end{cases}$$

Если функция  $\chi(t)$  найдена, то искомое конформное отображение  $z(t)$  определяется интегралом

$$z(t) = \int_0^t \exp(\chi(t)) dt,$$

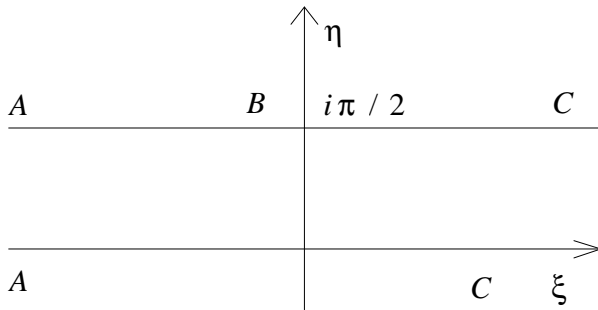


Рис. 2

а форма анодной границы  $\Gamma_0$  отыскивается в параметрическом виде:

$$x(\xi) = \int_0^\xi \exp(r^0(\xi)) \cos \theta^0(\xi) d\xi,$$

$$y(\xi) = \int_0^\xi \exp(r^0(\xi)) \sin \theta^0(\xi) d\xi.$$

Поставим краевую задачу для определения аналитической в области  $D_t$  функции  $\chi(t)$ . На поверхности клина при  $\eta = \pi/2$  функция  $\chi(t)$  удовлетворяет условию

$$\text{Im} \chi(t) = \theta^1 = F(S) \quad (6)$$

На свободной поверхности (при  $\eta = 0$ ) выполняются соотношения (4), (5). С их помощью выведем условие, которому удовлетворяет функция  $\chi(t)$  на свободной поверхности. Введем в рассмотрение комплексный потенциал течения

$$W = \phi + i\psi. \text{ Для функции } \frac{dW}{dt} = \frac{d\phi}{dt} + i \frac{d\psi}{dt}$$

вспомогательной области выполняются следующие граничные условия:

$$\text{Im} \frac{dW}{dz} = \frac{d\psi}{dt} = 0 \text{ при } t = \xi + i\eta, \quad -\infty < \xi < \infty;$$

$$\text{Re} \frac{dW}{dz} = \frac{d\phi}{dt} \text{ при } t = \xi, \quad -\infty < \xi < \infty.$$

Решение смешанной краевой задачи определения в области  $D_t$  аналитической функции  $dW/dt$  по ее действительной части на нижней границы полосы и ее мнимой части на верхней границе дается формулой:

$$\frac{dW}{dt} = \frac{i}{\pi} \left( \int_{-\infty}^{\infty} \frac{d\psi/dt}{ch(\xi-t)} d\xi - \int_{-\infty}^{\infty} \frac{d\phi/dt}{sh(\xi-t)} d\xi \right).$$

Разделим действительную и мнимую части функции при  $t = s$  и найдем выражение, связывающее функции  $d\psi/dt$  и  $d\phi/dt$ , в операторном виде:

$$\frac{d\psi}{ds} = -B[\gamma], \quad (7)$$

где  $\gamma = d\phi/d\xi$ ,  $B$  - сингулярный оператор (интеграл понимается в смысле главного значения),

$$B[\gamma] = \int_{-\infty}^{\infty} \frac{\gamma d\xi}{sh(\xi-s)}.$$

Проинтегрировав выражение (7), получим искомую формулу

$$\psi = -CB[\gamma] + \psi(-\infty), \quad (8)$$

где  $\psi(-\infty)$  - потенциал электрического поля на  $\Gamma_0$  при  $\xi \rightarrow -\infty$ ,  $C$  - линейный оператор, имеющий вид

$$C[u] = \int_{-\infty}^{\xi} u(\xi) d\xi.$$

Для того, чтобы найти константу интегрирования  $\psi(-\infty)$ , используем условие (1). Проинтегрировав функцию  $d\psi/d\eta$  по вертикальному отрезку, удаленному на  $-\infty$ , с учетом того, что  $d\psi/d\eta = d\phi/d\xi = \gamma(-\infty)$ , найдем  $\psi(-\infty) = Q - \pi\gamma(-\infty)/2$ . В итоге (8) перепишем в следующем виде:

$$\psi = P[\gamma] + Q, \text{ где } P[\gamma] = -CB[\gamma] - \pi\gamma(-\infty)/2.$$

Известно, что  $\partial\psi/\partial n = \partial\phi/\partial S$ , следовательно, учитывая (4) и  $dS/d\xi = |dz/dt| = \exp(r^0)$ , получим

$$\gamma = d\phi/d\xi = f_1(\cos \theta^0) \exp(r^0). \quad (9)$$

Таким образом, учитывая (9), имеем

$$\psi = P[f_1(\cos \theta^0) \exp(r^0)] + Q, \quad (10)$$

а учитывая (1), получим

$$\psi = f_0(\cos \theta^0). \quad (11)$$

Скомбинировав (10) и (11), получим условие, которому удовлетворяет функция  $\chi(t)$  на свободной поверхности

$$P(f_1(\cos \theta^0) \exp(r^0)) + Q = f_0(\cos \theta^0). \quad (12)$$

Условия (6), (12) определяют нелинейную краевую задачу определения аналитической функции  $\chi(t)$  в полосе  $D_t$ , которую можно свести к решению системы нелинейных интегральных уравнений.



Предположим, что функция  $r^0(\xi)$  известна.

Условие  $\text{Re} \chi(\xi) = r^0(\xi)$  и соотношение (6) представляют собой условия смешанной краевой задачи для аналитической в полосе  $D_t$  функции  $\chi(t)$ : на верхней границе полосы задана мнимая часть  $\chi(t)$ , на нижней - действительная. Решение такой задачи дается формулой:

$$\chi(t) = \frac{i}{\pi} \left( \int_{-\infty}^{\infty} \frac{\theta^1(\xi)}{ch(\xi-t)} d\xi - \int_{-\infty}^{\infty} \frac{r^0(\xi)}{sh(\xi-t)} d\xi \right).$$

Разделив действительную и мнимую части функции  $\chi(t)$  при  $t = s$  в полученном выражении, найдем связь между функциями  $r(\xi)$  и  $\theta(\xi)$  в операторном виде:

$$\theta^0 = A[\theta^1] - B[r^0], \quad (13)$$

$$r^1 = -B[\theta^1] + A[r^0], \quad (14)$$

где  $A[u] = \frac{1}{\pi} \int_{-\infty}^{\infty} \frac{ud\xi}{ch(\xi-s)}$ , а  $B$  - определенный

ранее оператор.

Так как  $S = \int_{-\infty}^{\xi} \exp(r^1) d\xi = C[\exp(r^1)]$ , то

выражение (6) запишется в виде

$$\theta^1 = F(C[\exp(r^1)]) \quad (15)$$

Воспользовавшись выражениями (13), (14), запишем систему нелинейных интегральных уравнений относительно  $r^0$  и  $\theta^1$ :

$$f_0(\cos(A[\theta^1] - B[r^0])) = P[f_1(\cos(A[\theta^1] - B[r^0])) \exp(r^0)] + Q, \quad (16)$$

$$\theta^1 = F(C[\exp(-B[\theta^1] + A[r^0])]). \quad (17)$$

Таким образом, для решения задачи необходимо решить полученную систему уравнений (16)-(17), которая является нелинейной и решается численно методом Ньютона.

**Числовые расчеты.** Найдена форма детали в случае, когда катод-инструмент имеет форму параболы  $y = x^2$  (рис. 3). Для числового расчета использовалась зависимость выхода по току для пассивирующих электролитов, представленная в работе [4]:  $\eta(I) = ((I - I_{kp}) \lambda_{\max}) / I, I \geq I_{kp}$ , со следующими значениями параметров:  $\kappa = 100 \text{ м}^{-1} \text{ м}^{-1}$

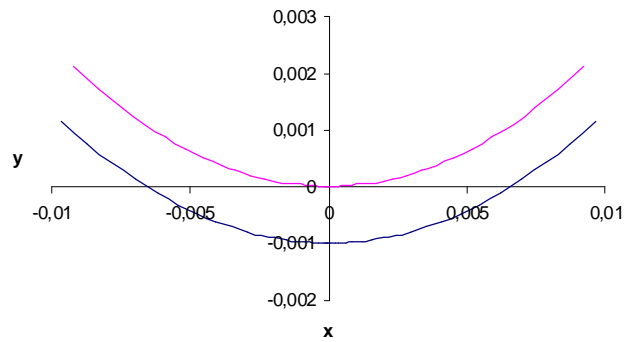


Рис. 3

(электропроводность среды),  $\Delta u = 12B$  (разность потенциалов),  $Q = 4 \times 10^{-4} \text{ м}$  (торцевой зазор),  $\lambda_{\max} = 2/3$  (максимальный выход по току),  $I_{kp} = 5 \times 10^4 \text{ ам}^{-2}$  (критическая плотность тока, при которой прекращается электрохимическая обработка). Ток в торцевом зазоре вычислялся по формуле  $I_t = \Delta u \kappa / Q$ . Таким образом, значение коэффициента выхода по току для  $I_t$  равно

$$\eta(I_t) = ((I_t - I_{kp}) \lambda_{\max}) / I_t.$$

Переход к безразмерному виду производится следующим образом:

$$\lambda(I/I_t) = \frac{\eta(I)}{\eta(I_t)} = \frac{I_t(I/I_t - I/I_{kp})}{I(1 - I_{kp}/I_t)}.$$

И после введения обозначений  $k = I_{kp} / I_t$  и  $V = I / I_t$ , окончательно получаем безразмерную зависимость в виде

$$\lambda(V) = \frac{V - k}{V(1 - k)},$$

которая и использовалась ( $k = 1/6$ ). При расчетах принималась зависимость потенциала анода от плотности тока в виде:

$$\psi = \varepsilon \ln(\partial \psi / \partial n) = \varepsilon \ln(F(\cos \theta)),$$

где  $\varepsilon$  - малый параметр ( $\varepsilon = 0,01$ ).

Работа выполнена при финансовой поддержке РФФИ (проект 05-01-00794).

### Литература

1. Житников В.П., Зайцев А.Н. Математическое моделирование трехкоординатной последовательно-строчной электрохимической обработки



- непрофилированными электродами-инструментами. Постановка задачи и линейное приближение // Известия вузов. Авиационная техника, №4, 1994. – С. 30 - 37.
2. Каримов А.Х., Клоков В.С., Филатов Е.И. Методы расчета электрохимического формообразования. – Казань: Изд-во Казан. ун-та, 1990. – 156 с.
  3. Газизов Е.Р., Маклаков Д.В. Анодное формообразование двугранным катодом при неравномерной поляризации анода // Известия вузов. Авиационная техника, №4, 2002. – С. 55-57.
  4. Седькин Ф.В., Орлов В.П., Матасов В.Ф., Соколов Б.М. К вопросу о взаимосвязи между поляризационными явлениями и анодным выходом по току // Технология машиностроения. Электрохимические и электрофизические методы обработки металлов. – Тула: Изд-во Тульского политехнического института, 1976. – С. 3 - 8.